

环境科学

(HUANJING KEXUE)

ENVIRONMENTAL SCIENCE



第36卷 第9期

Vol.36 No.9

2015

中国科学院生态环境研究中心 主办
科学出版社 出版



目 次

- 长江三角洲 $PM_{2.5}$ 质量浓度遥感估算与时空分布特征 徐建辉, 江洪(3119)
宁波市 $PM_{2.5}$ 中碳组分的时空分布特征和二次有机碳估算 杜博涵, 黄晓锋, 何凌燕, 胡敏, 王川, 任宇超, 应红梅, 周军, 汪伟峰, 许丹丹(3128)
青岛大气中酸碱气体及 $PM_{2.5}$ 中水溶性离子的浓度特征和气粒平衡关系 周佳佳, 石金辉, 李丽平, 姚小红, 高会旺(3135)
北京雾霾天大气颗粒物中微生物气溶胶的浓度及粒谱特征 胡凌飞, 张柯, 王洪宝, 李娜, 王洁, 杨文慧, 殷喆, 焦周光, 温占波, 李劲松(3144)
2015年春节北京市空气质量分析 程念亮, 陈添, 张大伟, 李云婷, 孙峰, 魏强, 刘嘉林, 刘保献, 孙瑞雯(3150)
上海市大气挥发性有机物化学消耗与臭氧生成的关系 王红丽(3159)
生物滴滤塔净化氯代烃混合废气的研究 陈东之, 缪孝平, 欧阳杜娟, 叶杰旭, 陈建孟(3168)
一种基于 GOC1 数据的叶绿素 a 浓度三波段估算模型 郭宇龙, 李云梅, 李渊, 吕恒, 刘阁, 王旭东, 张思敏(3175)
巢湖溶解性有机物时空分布规律及其影响因素 叶琳琳, 吴晓东, 刘波, 闫德智, 张玫瑰, 周阳(3186)
河北洨河溶解性有机物光谱学特性 虞敏达, 张慧, 何小松, 檀文炳, 张媛, 马丽娜, 席北斗, 党秋玲, 高如泰(3194)
东山岛地下水“三氮”空间分布特征 吴海燕, 傅世锋, 蔡晓琼, 汤坤贤, 曹超, 陈庆辉, 梁修雨(3203)
重庆典型岩溶区地下河中溶解态正构烷烃、脂肪酸来源、迁移及转化 梁作兵, 孙玉川, 王尊波, 师阳, 江泽利, 张媚, 谢正兰, 廖昱(3212)
硫酸对乌江中上游段岩溶水化学及 $\delta^{13}\text{C}_{\text{DIC}}$ 的影响 黄奇波, 覃小群, 刘朋雨, 张连凯, 苏春田(3220)
阆中市思依镇水化学特征及其成因分析 张艳, 吴勇, 杨军, 孙厚云(3230)
东南沿海河流-水库系统藻类生长营养盐限制季节变动 陈聪聪, 饶拉, 黄金良, 白敏冬(3238)
水体氮磷营养盐水平与氯霉素浓度复合水体对苦草的生理生化影响 胡珍珍, 崔益斌, 李梅, 余静(3248)
溶藻活性物质对棕囊藻溶藻及其脂肪酸影响的模拟 杨秋婵, 赵玲, 尹平河, 谭炼, 舒万姣, 侯少玲(3255)
坡岸截留强化处理设施在不同运行条件下对农业面源污染物去除效果 李怀正, 陈珂莉, 危忠, 王卫刚(3262)
典型材料屋面面积尘重金属形态分布与风险评估 李敦柱, 管运涛, 刘安, 李思远(3269)
南水北调丹江口水库水氯(胺)化消毒副产物产生特性与消毒工艺对比
臭氧-混凝交互作用对混凝效果的影响 刘海龙, 郭雪峰, 王敏慧, 焦茹媛, 石健(3285)
含溴水臭氧化过程阴离子对溴酸盐生成的影响 吴悦, 吴纯德, 刘吕刚, 袁博杰(3292)
厌氧环境雌黄溶解产物形态的 XAS 研究 王莹, 许丽英, 王少锋, 肖翻, 贾永峰(3298)
印染及染料行业废水生物处理系统中的 AOX 污染研究 申洋洋, 刘锐, 徐灿灿, 舒小铭, 许江军, 兰亚琼, 陈吕军(3304)
螺旋霉素制药废水处理过程中耐药菌和抗性基因的转归特征 覃彩霞, 佟娟, 申佩弘, 魏源送(3311)
两种膜生物反应器处理养猪沼液的比较研究 税勇, 川岸朋树, 宋小燕, 刘锐, 陈吕军(3319)
农村污水膜生物反应器系统中微生物群落解析 孔晓, 崔丙健, 金德才, 吴尚华, 杨波, 邓晔, 庄国强, 庄绪亮(3329)
四区一体反应器冬季启动脱氮特性及硝化菌群结构分析 张岩, 孙凤侠, 谢杭冀, 陈敬, 眭稀, 甘志明, 王修平, 史扬(3339)
从亚硝酸还原厌氧氨氧化转变为硫酸盐型厌氧氨氧化 刘正川, 袁林江, 周国标, 李晶(3345)
提高有机负荷对好氧颗粒污泥形成与稳定过程的影响 刘小朋, 王建芳, 钱飞跃, 王琰, 陈重军, 沈耀良(3352)
常规施肥条件下农田不同途径氮素损失的原位研究:以长江中下游地区夏玉米季为例
水氮组合模式对双季稻甲烷和氧化亚氮排放的影响 傅志强, 龙攀, 刘依依, 钟娟, 龙文飞(3365)
厌氧条件下砂壤水稻土 N_2 、 N_2O 、NO、 CO_2 和 CH_4 排放特征 曹娜, 王睿, 廖婷婷, 陈诺, 郑循华, 姚志生, 张海, Klaus Butterbach-Bahl(3373)
黄土丘陵区不同有机碳背景下侵蚀坡面土壤呼吸特征 陈盖, 许明祥, 张亚锋, 王超华, 樊会敏, 王闪闪(3383)
生物炭添加对半干旱地区土壤温室气体排放的影响 郭艳亮, 王丹丹, 郑纪勇, 赵世伟, 张兴昌(3393)
宁南山区林地土壤原位矿化过程中碳氮转化耦合特征 倪银霞, 黄懿梅, 牛丹, 赵彤, 闫浩, 蒋跃利(3401)
石漠化山地植被恢复过程土壤团聚体氮分布及与氮素矿化关系研究
胡宁, 马志敏, 蓝家程, 伍宇春, 陈高起, 傅瓦利, 文志林, 王文净(3411)
江汉平原农田土壤有机碳分布与变化特点:以潜江市为例 王玉竹, 肖和艾, 周萍, 童成立, 葛体达, 曾冠军, 吴金水(3422)
缙云山不同土地利用方式下土壤团聚体中活性有机碳分布特征 李睿, 江长胜, 郝庆菊(3429)
西北典型工矿型城市街道尘埃重金属污染的环境磁学响应
聂燕, 王新, 王博, 许淑婧, 高福元, 余晔, 夏敦胜, 夏昕鸣(3438)
电镀厂周边环境中重金属分布特征及人体健康暴露风险评价 郭鹏然, 雷永乾, 周巧丽, 王畅, 潘佳钏(3447)
典型电力电容器污染土壤中多氯联苯水平及特性 刘洁, 李晓东, 赵中华, 祁志福, 陈彤, 严建华(3457)
紫色土对硫丹的吸附与解吸特征 赵炎, 郑国灿, 朱恒, 张进忠, 朱秀英, 胡淑春, 吴娅林(3464)
紫茉莉对石油污染盐碱土壤微生物群落与石油烃降解的影响 焦海华, 崔丙健, 吴尚华, 白志辉, 黄占斌(3471)
4 株外生菌根真菌对 Al^{3+} 吸收与吸附的研究 王明霞, 袁玲, 黄建国, 周志峰(3479)
长春市郊区蔬菜有机磷农药残留与健康风险评价 于锐, 刘景双, 王其存, 刘强, 王洋(3486)
北京市北神树生活垃圾填埋场产甲烷菌的群落结构和演替规律 宋立娜, 王磊, 夏孟婧, 苏月, 李振山(3493)
城市分散式粪便颗粒化有机肥用作叶菜肥的肥力及环境影响 吕文洲, 乔宇祥, 余宁, 史荣华, 王光明(3501)
 $V_2O_5-WO_3/TiO_2$ 催化剂与活性炭混合降解气相二噁英 任咏, 纪莎莎, 俞明锋, 李晓东, 严建华(3508)
基于出行服务的纯电动公交车节能减排效益分析 林晓丹, 田良, 吕彬, 杨建新(3515)
我国挥发性有机物定义和控制指标的探讨 江梅, 邹兰, 李晓倩, 车飞, 赵国华, 李刚, 张国宁(3522)
异化铁还原对土壤中重金属形态转化及其有效性影响 司友斌, 王娟(3533)
《环境科学》征订启事(3297) 《环境科学》征稿简则(3303) 信息(3127, 3202, 3277, 3318)

河北洨河溶解性有机物光谱学特性

虞敏达^{1,2}, 张慧¹, 何小松¹, 檀文炳¹, 张媛^{1,3}, 马丽娜¹, 席北斗¹, 党秋玲¹, 高如泰^{1*}

(1. 中国环境科学研究院, 北京 100012; 2. 常州大学环境与安全工程学院, 常州 213164; 3. 武汉大学资源与环境科学学院, 武汉 430072)

摘要: 基于荧光光谱、紫外吸收光谱与水质基本化学指标, 联合主成分分析与相关性分析, 对典型城市纳污河流——河北洨河的溶解性有机物(DOM)进行光谱学特性研究。结果表明, 河流水体中DOM主要有类蛋白和类腐殖质两类, 其中含氮化合物及DOM与水体COD之间相关性较高, 尤其以氨氮对类腐殖质贡献较大。因此降低洨河水体中COD可通过减少氨氮与DOM来实现, 同时此两类指标也应作为日后水体监控指标。干流水体样品中DOM下游相对上游类蛋白逐渐减少, 而类腐殖质则呈现增加的趋势, 并以类胡敏酸为主要存在形式。代表支流4种样品中, S1、S2水体DOM主要以类胡敏酸为重要成分, 其组成有机物多为大分子量、芳香性高的有机物质, 而S3、S6水体中主要为相对易降解的类蛋白, 其相对分子质量相对较小、芳香性程度较低。针对代表支流的4个污水处理单位出水水体中的DOM特征, 建议S1与S2应添加或改进对大分子物质有较好去除效果的膜处理设备, 以加强对水体中相对难降解类腐殖质物质的去除; S3与S6应优化相关厌氧与好氧生物处理工艺, 从而提高易降解的类蛋白物质的去除能力。

关键词: 潼河; 可溶性有机物; 三维荧光光谱; 同步荧光光谱; 紫外光谱

中图分类号: X142 文献标识码: A 文章编号: 0250-3301(2015)09-3194-09 DOI: 10.13227/j.hjkx.2015.09.010

Spectral Characteristic of Dissolved Organic Matter in Xiaohe River, Hebei

YU Min-da^{1,2}, ZHANG Hui¹, HE Xiao-song¹, TAN Wen-bing¹, ZHANG Yuan^{1,3}, MA Li-na¹, XI Bei-dou¹, DANG Qiu-ling¹, GAO Ru-tai^{1*}

(1. Chinese Research Academy of Environmental Sciences, Beijing 100012, China; 2. School of Environmental and Safety Engineering, Changzhou University, Changzhou 213164, China; 3. School of Resource and Environmental Sciences, Wuhan University, Wuhan 430072, China)

Abstract: The spectral characteristic of dissolved organic matter (DOM) in Xiaohe River, Hebei, was investigated by fluorescence spectroscopy, ultraviolet-visible absorption spectroscopy, and basic chemical water quality indicators. The data was then statistical analyzed using principal component analysis and correlation analysis method. The result based on 3D excitation-emission matrix fluorescence spectroscopy showed that DOM in Xiaohe River contained both protein-like and humus-like components. DOM and N-containing compounds were obviously correlated with COD, especially between NH_4^+ -N and humic-like component, indicating that COD of water in Xiaohe River can be reduced by removing NH_4^+ -N and DOM, which could be good indicators for monitoring water quality in the future. The relative content of protein-like component reduces gradually along the downstream, while that of humic-like component showed an increasing trend. DOM in samples S1 and S2 was mainly consisted of humic-like components with larger molecular weight and higher aromaticity, while that in samples S3 and S6 was mainly consisted of protein-like components with smaller molecular weight, lower aromaticity, which are easier to be degraded. Therefore, in order to enhance the remove of refractory humic-like substances, sewage treatment plants of S1 and S2 or improved membrane treatment equipment with better removal effect of macromolecules should be provided. On the other hand, the anaerobic and aerobic biological treatment processes should be optimized in S3 and S6, so as to better remove these degradable protein-like substances.

Key words: Xiaohe River; dissolved organic matter; three-dimensional fluorescence spectroscopy; synchronous fluorescence spectroscopy; ultraviolet-visible spectra

城市污染河流水体中溶解性有机物(dissolved organic matter, DOM)占总有机物含量的30%~40%, 影响水质中多种有机物指标, 同时也是污水处理的主要对象^[1]。水体中DOM指可以通过0.45 μm滤膜的有机混合体, 组分主要是腐殖酸、亲水性有机酸、氨基酸、碳水化合物及脂类等^[2], 其在污染河流中主要来源为人类生产活动污水、工业废水及死生物的自然消解或被细菌分解后产物^[3]。水体

中DOM的组分类别、质量分布、腐殖质化程度以及分子结构特征对水体水生态变化及重金属的迁移转化有重要影响^[4]。因此, DOM研究对于城市纳污

收稿日期: 2015-02-12; 修订日期: 2015-04-14

基金项目: 国家水体污染防治与治理科技重大专项(2012ZX07203-003)

作者简介: 虞敏达(1991~), 男, 硕士研究生, 主要研究方向为地表水污染监测与控制, E-mail: yminda@sina.com

* 通讯联系人, E-mail: grthu@126.com

河流保护及其生物地球化学研究等有重要意义。

三维荧光光谱(excitation-emission matrix, EEM)是一种能得到图像直观、信息丰富谱图的光谱分析技术,对DOM分子内与分子间的动力学特性、含有苯环或共轭双键的有机物组成特征均能准确地反映,是灵敏区别和表征水体中不同DOM特征的最佳光谱分析技术之一^[5]。紫外-可见吸收光谱(ultraviolet-visible, UV-Vis)因具有仪器普及、操作简单、所需样品量少等优点,是研究DOM的来源及样品结构特征差异时快捷便利的方法。近年来该类光谱技术已被广泛应用于湖泊、河口及海湾等水环境DOM研究^[6],但大多研究者采用寻找特定峰值法解析荧光信息,因此未能充分解读荧光指纹携带的所有信息。而荧光区域积分是一种识别和表征多组分体系中荧光光谱的重叠对象的解析方法,能一定程度克服以上不足。

河北洨河为典型北方城市纳污河流,其以接纳城市污水处理出水及农村生活污水为主要补给水,因而各支流对其干流水水质情况有重要影响。本研究联合紫外吸收光谱、三维荧光区域积分法、同步荧光及统计分析方法对洨河水体中DOM的组成特征、分子结构特征及芳香性等进行表征,揭示各支流补给水源水体中DOM特征及支流汇入后干流水体中DOM的变化特征,以期为洨河治理和生态修复提供理论依据。

1 材料与方法

1.1 研究区概况及样品采集

河北洨河是石家庄市南部一条重要的行洪、排污河流,目前无天然水源补给,以市区及周边污水处理厂出水为主要水源,是子牙河南支滏阳河主要污染支流之一,为典型接纳生活污水、制药和食品加工行业排放废水而严重污染的城市纳污河流。桥东污水处理厂尾水、桥西污水处理厂尾水及窦妪经简单处理后生活污水为洨河源头主要补给水源,窦妪出水口下游为洨河湿地,沿途还接纳赵县污水处理厂出水,其余支流已处于干涸。

为研究洨河此4种主要水源补给点水体DOM特征及干流水体中DOM变化特点,因此将该4处所采集水样定义为洨河支流样品,均采集于污水出口;尾水补给点上游因水量较少基本处于干涸,河流水源主要由上游3座污水处理厂提供,因此将洨河湿地下游所采集水样作为干流第一个样品。按上游至下游原则依次编号,其中支流对应编号为S1、S2、

S3、S6;干流4个采样点S4、S5、S7、S8,具体采样点位置见图1。

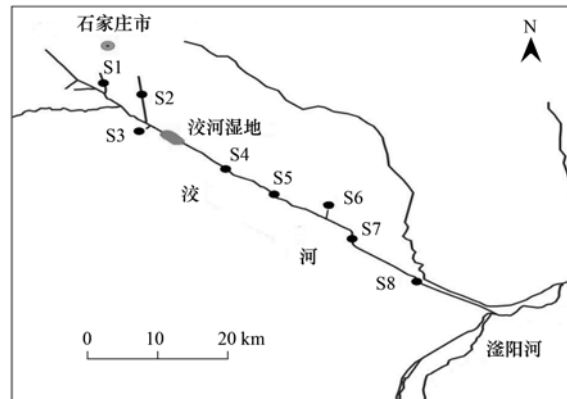


图1 研究区域及采样点示意

Fig. 1 Location of the study area and sampling sites

1.2 样品采集与前处理

于2014年6月对洨河支流及干流共布设8个点位,每个点位随机采集4次水样,每次采集500 mL,将其混合成2 L混合样品,使用棕色瓶室温保存。采集样品同时测定pH、溶解氧(表1)。样品采集后立即用孔径0.45 μm的Millipore聚碳酸酯滤膜过滤,滤液中的有机物即为DOM,避光冷藏保存。测试荧光之前对浓度较高样品进行一定的稀释,降低DOC浓度,同时使pH值控制在6~7之间。

过滤后水样带回实验室后进行水质基本指标测试,其中DOC采用总有机碳分析仪器(multi N/C-2100 TOC, Analytik Jena, GER),氨氮采用纳氏试剂法,总氮采用碱性过硫酸钾消解紫外分光光度法,COD采用重铬酸钾滴定,TP采用钼酸铵分光光度法。

1.3 样品光谱学分析

1.3.1 荧光光谱测定及分析

荧光光谱采用日立公司生产的Hitachi F-7000型荧光光度计进行测定。激发光源为150 W氘弧灯,光电倍增管电压为700 V,信噪比>110,扫描速度为12 000 nm·min⁻¹,激发和发射单色仪的狭缝宽度均为10 nm,响应时间为自动。荧光同步扫描光谱激发光谱波长 $E_x = 300 \sim 600$ nm, $\Delta\lambda = \lambda_{E_m} - \lambda_{E_x} = 18$ nm。激发波长(E_x)范围为200~450 nm,增量5 nm;发射波长(E_m)范围为280~550 nm,增量5 nm。计算当激发波长 $E_x = 370$ nm、发射波长 $E_m = 450$ nm、500 nm两处荧光强度比值记为 $f_{450/500}$ ^[7];当 $E_x = 254$ nm时, $\int(E_m = 435 \sim 480 \text{ nm}) / [\int(E_m = 300 \sim 345 \text{ nm}) + \int(E_m = 435 \sim 480 \text{ nm})]$ 记为HIX^[8]。

表 1 水样基本性质

Table 1 Basic parameters of water samples

样品	pH	DO /mg·L ⁻¹	NH ₄ ⁺ -N /mg·L ⁻¹	TN /mg·L ⁻¹	DOC /mg·L ⁻¹	TP /mg·L ⁻¹	COD /mg·L ⁻¹
S1	5.4	5.20	1.33	52.7	35.80	0.87	120.3
S2	5.6	6.34	0.69	17.2	25.20	1.88	61.4
S3	5.8	4.20	14.01	17.7	51.20	1.06	232.3
S4	5.43	7.33	0.90	19.3	15.09	0.68	104
S5	4.85	7.28	0.75	22.6	16.94	0.44	152
S6	5.0	2.70	82.88	94.0	68.10	0.46	179.3
S7	5.38	6.33	6.28	29.5	17.81	0.83	133
S8	5.19	5.82	4.39	27.9	16.46	0.37	83

通过 Origin 软件采用荧光区域积分法对荧光谱峰进行识别, 将 3D-EEM 区域分成 5 个部分, 分别在对应波长范围内计算荧光区域的积分体积 Φ_i ; 全光谱总荧光强度(TOT)积分; 各荧光团(峰)占总荧光强度比例 P_i 。具体方法参见文献[9,10]。采用多元统计软件 SPSS 对水样同步荧光进行主成分分析(PCA)及水质参数间相关度水平检测。

1.3.2 紫外光谱分析

紫外光谱分析采用日本岛津公司生产的 UV1700 紫外-可见分光光度计, 扫描波长范围为 200~400 nm, 扫描间距为 1 nm。此外, 分别测定 254、250、365 nm 处的吸光度(cm^{-1}), 以 UV_{254} 、 E_2 、 E_3 表示。 E_2 与 E_3 比值为 E_2/E_3 ^[11], UV_{254} 乘上 100 与 DOC 浓度之比记为 SUVA_{254} [$\text{L} \cdot (\text{m} \cdot \text{mg})^{-1}$]^[12]。

2 结果与讨论

2.1 水体 DOM 荧光光谱特征

图 2 所示 S1、S2、S3 和 S6 分别为洨河 4 条支流样品稀释后的三维荧光光谱图, S3、S6 为稀释 25 倍后呈现的光谱图, 其余均为稀释 5 倍后图谱。图 2 显示荧光主要分布在 5 个区域, 荧光中心 I 区: $E_x/E_m = 245/330$ 附近、II 区: $E_x/E_m = 225/340$ 附近、III 区: $E_x/E_m = 240/435$ 附近、IV 区: $E_x/E_m = 280/340$ 附近、V 区: $E_x/E_m = 330/430$ 附近。根据荧光中心位置及相关研究报道可知^[13,14], I 区、II 区和 IV 区所呈现的荧光物质与类蛋白有关; III 区和 V 区荧光物质与类腐殖质相关。对比各区荧光峰强度可发现 S3、S6 水体 DOM 组成主要为类蛋白; 而 S1、S2 水体中 DOM 组成除含有类蛋白外, 还存在大量类腐殖质。支流样品均采自各污水处理单位出水, 居民生活产生的食物残渣、人畜粪便及各种生活洗涤用品等类蛋白大量汇入城市污水系统, 因此在 4

种水样中均检测出大量类蛋白。城市污水大多由管道输送, 污水中类腐殖质来自土壤腐殖质含量较小^[15]。因此, 在 S1、S2 中出现大量高强度类腐殖质荧光峰, 主要为经过污水处理简单物质大量去除所剩的难降解物质^[16]。图 2 中 S4、S5、S7、S8 为干流样品三维荧光光谱图, 样品呈现荧光中心分布, 支流类似, 均由类蛋白与类腐殖质组成。对比干流 S7、S8 与 S4、S5 荧光谱图可发现, 在 S6 汇入干流后其下游 S7 相对上游 S5 荧光强度增大, 同时 S7 相对 S8 比较可看出类蛋白区荧光逐渐减弱, 类腐殖质荧光强度呈增强趋势, 表明在洨河干流水体中 DOM 含量受支流影响较大, 也验证了水体 DOM 中类蛋白组分在自然条件下相对类腐殖质更易发生降解。

三维荧光光谱总荧光强度(TOT)和各荧光团分区强度进行区域积分的方法是对三维荧光光谱定量分析的一种有效手段, 能更具体解释 DOM 物质组成和荧光团的变化^[17]。本研究 8 种水体样品中 DOM 的三维荧光光谱均可划分为 5 个区, 样品所得区域积分均按稀释倍数恢复其对应原始浓度的荧光强度值。根据 Chen 等^[13]的研究报道, 激发波长/发射波长范围分别为 200~250/280~325 nm, 200~250/325~375 nm 的 I 区、II 区与类蛋白物质(类色氨酸, 类酪氨酸)有关, IV 区在 $E_x/E_m > 250/280$ ~375 与可溶性微生物降解产物等类蛋白物质有关, III 区与 V 区分布在 E_x/E_m : 200~250/375~550 nm, $> 250/375$ ~550 nm 与类腐殖质(类富里酸, 类胡敏酸)有关。

表 2 各支流 TOT 值比较可发现, 在洨河 4 条主要支流补给水源中 S3 与 S6 中 DOM 含量高于上游 S1、S2, 其中 S6 水体 DOM 含量最高, 干流下游 S7、S8 中 TOT 值升高与其有重要关系。S4 为洨河湿地下游第一个干流采样点位, 较其它干流点比较 TOT 值最低, 推测与洨河湿地微生物降解及湿地植物和湿地填料对 DOM 的吸附吸收有关。对比干流 S4 与

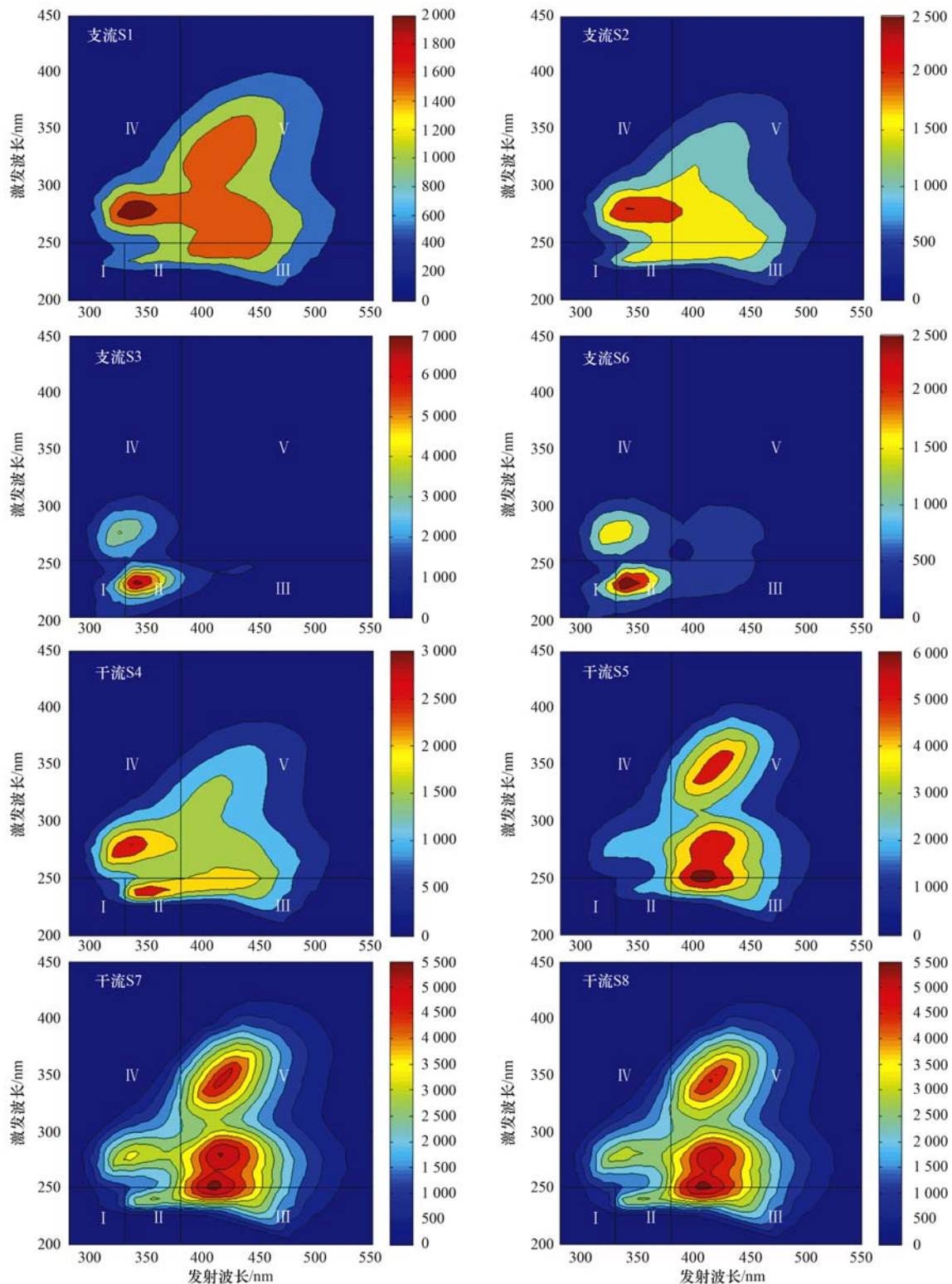


图2 水体三维荧光光谱

Fig. 2 EEM spectra of water samples

S5、S7与S8中各荧光团(峰) P_i 值可发现,除代表胡敏酸的V区从下游相对上游呈增大趋势外,其余各荧光团(峰)均呈减小趋势。一方面可能为湿地植

物根系分泌物及湿地植物和沿途接纳的秸秆残体等垃圾在下游逐渐堆积产生的腐殖降解贡献;另一方面也说明与类蛋白和富里酸相比,类胡敏酸物质因

其具有更复杂的结构而不易在环境中被微生物降解^[18],也可能与洨河微生物群落特殊性有一定关系。在支流样品S3、S6水体中类蛋白为主要荧光物质,分别占DOM总量的71.3%、53.5%,而支流S1、S2样品中DOM组成73.9%和67.7%为类腐殖质,其中占大部分为V区所代表的类胡敏酸物质。干流样品除S4以外其它点位水体样品中DOM组成77%以上为类腐殖质,同时绝大部分为类胡敏酸。

基于三维荧光光谱图及区域体积积分对洨河水体DOM特征分析,建议代表洨河支流的4座污水处理单位除注重对类蛋白等易降解的物质去除,同时还应注重对类腐殖质等难降解物质的去除。S1、S2两处在加强类腐殖质去除时更应注重类胡敏酸类物质去除,S3、S6应改进污水处理工艺,加大削减污水中相对易处理的类蛋白物质使其达标排放。

表2 水体DOM三维荧光光谱区域积分分析

Table 2 Volume integral of different area in EEM spectra of DOM

项目	区域	S1	S2	S3	S6	S4	S5	S7	S8
区域荧光体积积分值 $\Phi_i \times 10^7 / \text{nm}^2 \cdot [\text{mg} \cdot \text{L}^{-1} \text{C}]$	I	0.04	0.05	1.14	1.00	0.05	0.04	0.06	0.06
	II	0.12	0.17	4.29	5.17	0.23	0.21	0.26	0.26
	III	0.42	0.44	11.12	24.80	0.47	0.99	0.93	0.92
	IV	0.73	0.82	20.43	27.46	0.97	1.10	1.30	1.23
	V	2.10	1.73	43.27	124.95	1.91	4.99	4.73	4.54
含量 $P_i / \%$	TOT	3.42	3.21	80.25	183.39	3.63	7.34	7.27	7.00
	I	1.2	1.4	10.3	7.8	1.4	0.5	0.8	0.7
	II	3.5	5.3	27.1	18.1	6.3	2.8	3.5	3.68
	III	12.4	13.8	13.7	14.1	13.0	13.5	12.8	13.1
	IV	21.4	25.4	33.9	27.6	26.6	15.0	17.8	17.6
	V	61.5	53.9	14.9	32.2	52.6	68.1	65.0	64.8

2.2 水体DOM组成特征

为进一步研究水体中DOM组成特征,通过主成分因子分析法(PCA)对同步荧光所得数据进行分析。利用PC因子得分与波长作图的方法,能区别不同主成分中主要光谱波段,解释水体中DOM不同组分特征^[19]。如图3所示,对8种样品所得同步荧光数据进行PCA,可以提取2个主成分(PC),其方差最大旋转后特征值占总方差的96.25%,即对此2个PC(PC1贡献总方差52.83%、PC2贡献总方差43.42%)进行分析能够反映数据的绝大部分信息。

图3(a)为PC1因子得分与波长关系,在激发波长为288 nm及370 nm处出现两个主要特征峰,在334 nm、302 nm也分别有微小的峰。由Chen等^[13]和Huir等^[20]的研究可知,在288 nm、302 nm处分别为类酪氨酸与类色氨酸,在334 nm、370 nm处对应物质为类富里酸与类胡敏酸。由图3(a)可判断PC1中DOM主要组成为类蛋白物质(类酪氨酸),并共存一定量类腐殖质。图3(b)为PC2因子得分与波长关系,其中在370 nm处出现主要特征峰,此峰代表物质为类胡敏酸^[20],说明在PC2中DOM主要由类腐殖质

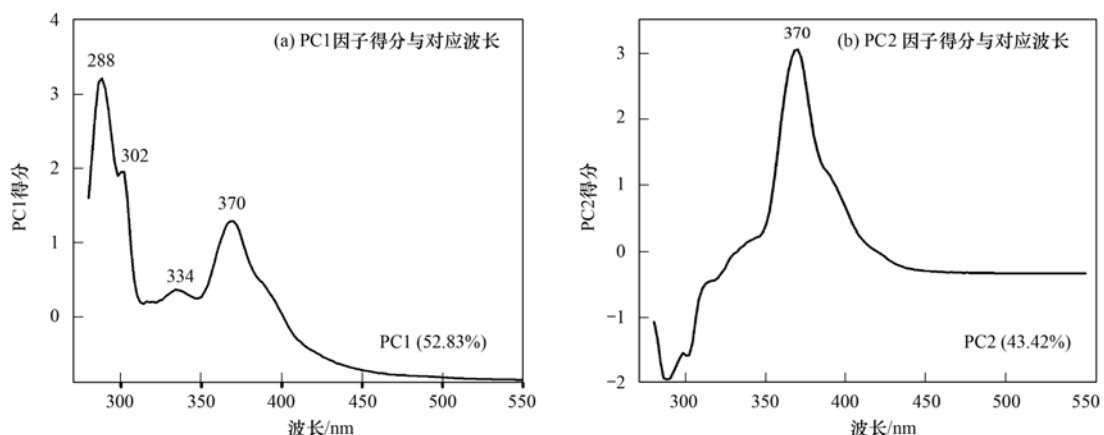


图3 水体同步荧光主成分分析

Fig. 3 Principal component analysis of the synchronous-scan excitation spectra of the water samples

组成。在 PC1、PC2 中出现相同的荧光波段(370 nm)特征峰,说明此水体类腐殖质分布形态分为 2 种方式,一种通过某些载体吸附作用与类蛋白共存的方式存在;另一种为单纯赋存状态。因此,因子 1 主要代表类蛋白物质(类酪氨酸)及其与类胡敏酸共存物质,而因子 2 主要代表类腐殖质(类胡敏酸)。

图 4 为 8 种水体样品经 PCA 所得旋转空间中成分,从样品显著正载荷分布发现,支流 S1、S2、S3、S6 及干流 S4 以 PC1 所含物质偏多,干流 S5、S7、S8 以 PC2 所含物质为主。通过成分得分系数发现,在 PC1 中 S3、S6、S4、S2、S1 得分系数分别为 0.301、0.292、0.256、0.167、0.132; 在 PC2 中其因子得分系数大小为 S5 > S7 > S8。由以上统计分析结果可知,PC1 中类蛋白物质偏多主要为支流 4 种样品及干流 S4 所贡献,PC2 中类腐殖质主要为干流 S5、S7、S8 贡献。对 DOM 在各样品中分布,支流 S3 与 S6 中类蛋白物质含量更高,尤其以类酪氨酸为主要组分,S1、S2 中含有大量与类蛋白共存的类腐殖质;在干流 S5、S7、S8 中 DOM 组成主要为类腐殖质,以类胡敏酸为其重要有机物质。干流 4 种样品中类蛋白、类腐殖质组成变化可发现,干流与支流汇合后干流水体中类蛋白和与类蛋白共存形式的腐殖质类物质偏高,随河流而下干流水体中类蛋白物质逐渐减少,类腐殖质逐渐增高的趋势,再次验证类蛋白物质在水体中较类腐殖质易降解。

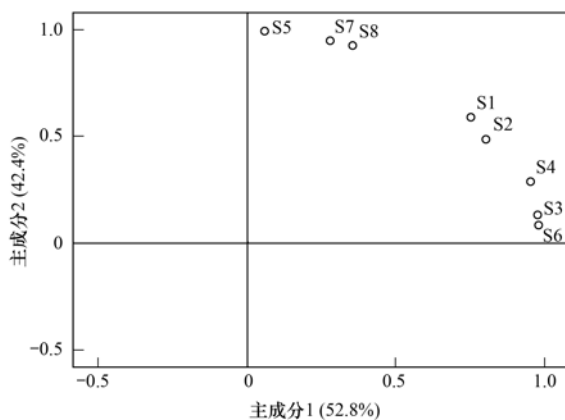


图 4 采样点旋转空间中成分

Fig. 4 Property-property plots of PCA factors of the water sample

2.3 水体 DOM 腐殖化程度及结构特征

HIX 被广泛应用于表征有机质腐殖化程度的指标。Ohno^[8] 研究显示 HIX 值在 0 ~ 1 间变动, 随其值的增大腐殖化程度越深, 表 3 显示, 本研究所有样品 HIX 值均在 0.8 以下, 其中 S3、S6 水体 HIX 值较其它水体 HIX 值较小, 表明水体 DOM 的腐殖化程

度较低, 在环境中存在时间较短, 主要来自微生物对小分子物质分解后产物及微生物自身的死亡分解; 支流 S3、S6 值偏小说明其水体中易降解物质偏多。 E_2/E_3 常用于湖沼学中指示有机质腐殖化程度及相对分子质量大小^[21], Wang 等^[22] 的研究表明, 该值的大小与有机质相对分子质量呈反比关系, 同时也有研究者提出 E_2/E_3 值小于 3.5 时为胡敏酸, 大于 3.5 为富里酸^[11]。本次所测 8 个样品中除 S1 与 S2 外, 其余 6 个样品 E_2/E_3 值基本保持在 5 ~ 7 之间, 表明在支流 S3、S6 及干流水体中 DOM 的分子以相对较小的富里酸为主, 而相对分子质量稍大的胡敏酸含量相对较少, 而 S1、S2 水体中 DOM 组成物质中相对分子质量则相对较大, 表明在这两个污水处理厂中, 大部分小分子有机物已经被去除, 留下的都是大分子有机物。

表征水体中 DOM 相对分子质量与芳香性的指标有很多, 据 Nishijima 等^[23] 研究, 有机物在 254 nm 下的紫外吸收主要是由包括芳香族化合物在内的具有不饱和碳-碳键的化合物引起, SUVA₂₅₄ 值与 DOM 芳香性程度呈正相关关系^[12]; 荧光指数 (fluorescence index, $f_{450/500}$) $f_{450/500}$ 值能灵敏地表征 DOM 芳香性, 其值越低说明含有苯环结构越多, 芳香性较强, 同时其还可以用于表征 DOM 来源^[7]。从水体中 SUVA₂₅₄ 值与 $f_{450/500}$ 值可发现其干流大于支流, 河流由上游至下游 SUVA₂₅₄ 值呈升高趋势。以上数据说明随水流而下水体 DOM 中芳香性组分减少, 此类芳香性组分可通过在水流过程中逐渐被底泥及沉积物吸附、水体微生物分解及光降解等途径减少^[24,25]。 $f_{450/500}$ 值大小在 2 ~ 4 之间, 根据 McKnight 等^[26] 提出 $f_{450/500}$ 值大于 1.9 时其来源主要为生物源, 而大部分河流、湖泊的 $f_{450/500}$ 值接近 1.5^[27,28]。说明其中 DOM 中腐殖质来源主要为生物源, 以污水处理厂尾水为水源的水体中腐殖质组成不同于以地表水为水源的河水。代表支流 S1、S2、S3 和 S6 的 SUVA₂₅₄ 值大小均依次为 S6 > S3 > S1 > S2, 表明 S1 与 S2 水体中 DOM 含有较多的具有不饱和碳-碳键的芳香族化合物, 芳香性较强、相对分子质量大; 而 S3 和 S6 水体的 DOM 组成中相对分子质量相对小、芳香性较弱。建议在 S1、S2 处理工艺中应添加或改进相关膜处理设备, 加强大分子有机物的去除效率; 针对 S3、S6 在处理过程中应注重厌氧与好氧生物处理工艺的优化, 提高对小分子的去除能力^[29]。

表 3 水体 DOM 相对分子质量及芳香性特征参数

Table 3 Parameters for molecular weight and aromatic character of waters DOM

项目	S1	S2	S3	S4	S5	S6	S7	S8
HIX	0.711	0.746	0.251	0.577	0.758	0.358	0.703	0.754
E_2/E_3	3.321	2.279	7.096	6.308	5.303	5.293	5.647	5.469
SUVA ₂₅₄	0.076	0.035	0.082	1.255	1.333	0.100	1.419	1.453
$f_{450/500}$	2.246	2.148	2.567	2.282	3.716	2.583	3.829	3.815

2.4 水体 DOM 浓度与水质化学指标关系

DOM 为水体中重要的有机物, 在某种程度上其浓度能体现水体有机物含量的大小, 通过对 DOM 荧光分析能一定程度上反映水体污染状况。通过对样品荧光光谱区域积分体积与水体化学指标进行分析, 发现众多指标间都体现很好的相关显著性, 表 4 为其 Pearson 相关性分析结果。TOT 由水体中每个荧光团所贡献, 能全面反映 DOM 荧光团浓度, 其与水体 $\text{NH}_4^+ \text{-N}$ 和 COD 呈极显著相关 ($P < 0.01$), 与 TN 呈显著相关 ($P < 0.05$), 说明水体中 DOM 荧光强度能很好反映水体状况。从各荧光区与水质化学指标间相关性发现, III 区、V 区与水质 TN、 $\text{NH}_4^+ \text{-N}$ 呈显著关系, 尤其与 $\text{NH}_4^+ \text{-N}$ 相关显著性更强 ($P < 0.01$), 而 TP 与各荧光区均无明显相关性, 可推测洨河水体 DOM 组成以氮类元素为主, 而磷类元素对其贡献相对较少。因此, 在对洨河水体有机质去除可通过降低水体 $\text{NH}_4^+ \text{-N}$ 与 COD 实现, 同时对洨河

治理应注重氮素的去除与降解。

水体 DOM 荧光强度与其化学指标之间的关系, 近年也有很多研究者做出相关研究, 例如: Baker 等^[30]对河水库水三维荧光光谱研究, 发现 I 区 [E_x/E_m (280 nm/350 nm)] 与水体氮和磷浓度有很好的相关性; 施俊^[31]对污水处理厂进出水三维荧光光谱研究, 发现城市污水中荧光强度与铵态氮和总氮有很好线性关系; 王志刚等^[32]研究表明腐殖酸与 DOM 的荧光强度有很强相关性。水体中 DOM 组成、来源和测量与水体中许多物理、化学及生物因素有关, 针对城市纳污河流还受城市污染源结构等众多因素影响, 同时水体中 DOM 的荧光组分与非荧光组分比例不同也会影响荧光结果与化学指标的相关性, 本文主要基于荧光有机组分对水体样品中有机质进行分析, 因此针对洨河有机质与水质化学指标之间明确的关联性还应进一步深入研究。

表 4 水体荧光强度与水质基本指标相关性¹⁾

Table 4 Relationship between the fluorescence intensity of water DOM and the other water quality chemical indicators

	III 区	V 区	TOT	TN	TP	$\text{NH}_4^+ \text{-N}$	COD
III 区	1.000						
V 区	0.995 **	1.000					
TOT	0.999 **	0.996 **	1.000				
TN	0.759 *	0.806 *	0.765 *	1.000			
TP	-0.151	-0.181	-0.155	-0.434	1.000		
$\text{NH}_4^+ \text{-N}$	0.959 **	0.982 **	0.964 **	0.872 **	-0.227	1.000	
COD	0.937 **	0.967 **	0.941 **	0.892 **	-0.257	0.994 **	1.000

1) * 表示在 0.05 水平(双侧)上显著相关; ** 表示在 0.01 水平(双侧)上显著相关

3 结论

(1) 通过三维荧光及同步荧光光谱对洨河水体 DOM 分析可知, 水体中 DOM 由类蛋白及类腐殖质物质组成, 同步荧光主成分分析发现主要组成为类色氨酸、类酪氨酸、类胡敏酸和类富里酸这 4 种。代表支流的 4 种水体样品中均存在显著的类蛋白峰, S3、S6 水体中类蛋白峰浓度更高; 在 S1、S2 水体 DOM 主要为类腐殖质, 其中类胡敏酸为其主要组分。干流水体中 DOM 呈现类蛋白逐渐减少, 类腐

殖质出现增加趋势。

(2) 结合紫外光谱及三维荧光分析数据对水体中 DOM 相对分子质量大小及芳香性研究发现, 支流 S1、S2 水体中 DOM 主要为相对分子质量相对大、芳香性强的有机物; S3、S6 水体中 DOM 组成更多为小分子量、芳香性弱的有机物, 同时其腐殖化程度相对 S1、S2 较差。干流水体中 DOM 随河流而下小分子、易降解有机质被微生物降解, 最终以难降解的类胡敏酸大量存在于水体。

(3) 针对代表洨河支流的 4 座向洨河排放尾水

的污水处理单位出水水质特征,建议S1、S2加强对水体中相对难降解的类腐殖质物质去除,可添加或改进对大分子物质有较好去除效果的膜处理设备; S3、S6应更多优化相关厌氧与好氧生物处理工艺,增加对易降解的类蛋白物质去除效果。在对洨河水体中有机质的去除时,可通过降低水体中NH₄⁺-N与COD含量实现,对水体治理应注重氮素的控制。

参考文献:

- [1] 高霞,周凌云,席景砖. 荧光分析法在环境有机污染物检测中的应用 [J]. 光谱实验室, 2011, **28**(4): 2008-2016.
- [2] Leenheer J A, Croué J P. Characterizing aquatic dissolved organic matter [J]. Environmental Science & Technology, 2003, **37**(1): 18A-26A.
- [3] Jaffé R, Boyer J N, Lu X, et al. Source characterization of dissolved organic matter in a subtropical mangrove-dominated estuary by fluorescence analysis [J]. Marine Chemistry, 2004, **84**(3-4): 195-210.
- [4] Maie N, Scully N M, Pisani O, et al. Composition of a protein-like fluorophore of dissolved organic matter in coastal wetland and estuarine ecosystems [J]. Water Research, 2007, **41**(3): 563-570.
- [5] 朱伟健,沈芳,洪官林. 长江口及邻近海域有色溶解有机物(CDOM)的光学特性 [J]. 环境科学, 2010, **31**(10): 2292-2298.
- [6] Ouyang E M, Zhang X H, Wang W. Study on the effects of organic removal by traditional purification process with three-dimensional excitation emission matrix fluorescence spectroscopy [J]. Spectroscopy and Spectral Analysis, 2007, **27**(7): 1373-1376.
- [7] 王丽莎,胡洪营,藤江幸一. 污水氯和二氧化氯消毒过程中溶解性有机物变化的三维荧光光谱解析 [J]. 环境科学, 2007, **28**(7): 1524-1528.
- [8] Ohno T. Fluorescence inner-filtering correction for determining the humification index of dissolved organic matter [J]. Environmental Science & Technology, 2002, **36**(4): 742-746.
- [9] Kowalcuk P, Stoń-Egiert J, Cooper W J, et al. Characterization of chromophoric dissolved organic matter (CDOM) in the Baltic Sea by excitation emission matrix fluorescence spectroscopy [J]. Marine Chemistry, 2005, **96**(3-4): 273-292.
- [10] 高洁,江韬,李璐璐,等. 三峡库区消落带土壤中溶解性有机质(DOM)吸收及荧光光谱特征 [J]. 环境科学, 2015, **36**(1): 151-161.
- [11] Peuravuori J, Pihlaja K. Isolation and characterization of natural organic matter from lake water: Comparison of isolation with solid adsorption and tangential membrane filtration [J]. Environment International, 1997, **23**(4): 441-451.
- [12] Shao Z H, He P J, Zhang D Q, et al. Characterization of water-extractable organic matter during the biostabilization of municipal solid waste [J]. Journal of Hazardous Materials, 2009, **164**(2-3): 1191-1197.
- [13] Chen W, Westerhoff P, Leenheer J A, et al. Fluorescence excitation-emission matrix regional integration to quantify spectra for dissolved organic matter [J]. Environmental Science & Technology, 2003, **37**(24): 5701-5710.
- [14] 钱伟,杨玉盛,曾宏达,等. 内河DOM降解的三维荧光、紫外光谱研究——以白马河为例 [J]. 亚热带资源与环境学报, 2007, **2**(3): 42-48.
- [15] 郝瑞霞,曹可心,邓亦文. 城市污水处理过程中有机污染物三维荧光特性的变化规律 [J]. 分析测试学报, 2007, **26**(6): 789-792, 796.
- [16] 何小松,于静,席北斗,等. 填埋垃圾渗滤液中水溶性有机物去除规律研究 [J]. 光谱学与光谱分析, 2012, **32**(9): 2528-2533.
- [17] He X S, Xi B D, Wei Z M, et al. Fluorescence excitation-emission matrix spectroscopy with regional integration analysis for characterizing composition and transformation of dissolved organic matter in landfill leachates [J]. Journal of Hazardous Materials, 2011, **190**(1-3): 293-299.
- [18] Bu L, Wang K, Zhao Q L, et al. Characterization of dissolved organic matter during landfill leachate treatment by sequencing batch reactor, aeration corrosive cell-Fenton, and granular activated carbon in series [J]. Journal of Hazardous Materials, 2010, **179**(1-3): 1096-1105.
- [19] Barker J D, Sharp M J, Turner R J. Using synchronous fluorescence spectroscopy and principal components analysis to monitor dissolved organic matter dynamics in a glacier system [J]. Hydrological Processes, 2009, **23**(10): 1487-1500.
- [20] Huir J, Lee D-H, Shin H-S. Comparison of the structural, spectroscopic and phenanthrene binding characteristics of humic acids from soils and lake sediments [J]. Organic Geochemistry, 2009, **40**(10): 1091-1099.
- [21] Wickland K P, Neff J C, Aiken G R. Dissolved organic carbon in Alaskan Boreal forest: Sources, chemical characteristics, and biodegradability [J]. Ecosystems, 2007, **10**(8): 1323-1340.
- [22] Wang F L, Bettany J R. Influence of freeze-thaw and flooding on the loss soluble organic carbon and carbon dioxide from soil [J]. Journal of Environmental Quality, 1993, **22**(4): 709-714.
- [23] Nishijima W, Speitel G E Jr. Fate of biodegradable dissolved organic carbon produced by ozonation on biological activated carbon [J]. Chemosphere, 2004, **56**(2): 113-119.
- [24] Schmidt M W I, Torn M S, Abiven S, et al. Persistence of soil organic matter as an ecosystem property [J]. Nature, 2011, **478**(7367): 49-56.
- [25] Yang L Y, Choi J H, Hur J. Benthic flux of dissolved organic matter from lake sediment at different redox conditions and the possible effects of biogeochemical processes [J]. Water Research, 2014, **61**: 97-107.
- [26] McKnight D M, Boyer E W, Westerhoff P K, et al. Spectrofluorometric characterization of dissolved organic matter for indication of precursor organic material and aromaticity [J]. Limnology and Oceanography, 2001, **46**(1): 38-48.
- [27] Wolfe A P, Kaushal S S, Fulton J R, et al. Spectro fluorescence of sediment humic substance and historical changes of lacustrine

- organic matter provenance in response to atmospheric nutrient enrichment [J]. Environmental Science & Technology, 2002, 36(15): 3217-3223.
- [28] 傅平青, 吴丰昌, 刘丛强. 洋海沉积物间隙水中溶解性有机质的地球化学特性 [J]. 水科学进展, 2005, 16(3): 338-344.
- [29] 何磊, 王志伟, 吴志超. 餐饮废水 MBR 处理过程中 DOM 的三维荧光光谱分析 [J]. 中国环境科学, 2011, 31(2): 225-232.
- [30] Baker A, Ward D, Lieten S H, et al. Measurement of protein-like fluorescence in river and waste water using a handheld spectrophotometer [J]. Water Research, 2004b, 38 (12): 2934-2938.
- [31] 施俊. 基于三维荧光光谱的污水处理厂水质快速分析 [D]. 扬州: 扬州大学, 2011.
- [32] 王志刚, 刘文清, 李宏斌, 等. 三维荧光光谱法分析巢湖 CDOM 的空间分布及其来源 [J]. 环境科学学报, 2006, 26 (2): 275-279.

《环境科学》再获“百种中国杰出学术期刊”称号

2014 年 9 月 26 日, 中国科技论文统计结果发布会在北京举行, 会议公布了“百种中国杰出学术期刊”获奖名单。《环境科学》连续 13 次荣获“百种中国杰出学术期刊”称号。“百种中国杰出学术期刊”是根据中国科技学术期刊综合评价指标体系进行评定。该体系利用总被引频次、影响因子、基金论文比、他引总引比等多个文献计量学指标进行统计分析, 对期刊分学科进行评比, 其评价结果客观公正, 为我国科技界公认, 并具有广泛影响。

CONTENTS

Estimation of PM _{2.5} Concentration over the Yangtze Delta Using Remote Sensing: Analysis of Spatial and Temporal Variations	XU Jian-hui, JIANG Hong (3119)
Seasonal and Spatial Variations of Carbon Fractions in PM _{2.5} in Ningbo and the Estimation of Secondary Organic Carbon	DU Bo-han, HUANG Xiao-feng, HE Ling-yan, et al. (3128)
Concentrations of Acidic Gases, Ammonia and Related Water-Soluble Ions in PM _{2.5} and Gas-Particle Partitioning in Qingdao	ZHOU Jia-jia, SHI Jin-hui, LI Li-ping, et al. (3135)
Concentration and Particle Size Distribution of Microbiological Aerosol During Haze Days in Beijing	HU Ling-fei, ZHANG Ke, WANG Hong-bao, et al. (3144)
Air Quality Characteristics in Beijing During Spring Festival in 2015	CHENG Nian-liang, CHEN Tian, ZHANG Da-wei, et al. (3150)
Chemical Loss of Volatile Organic Compounds and Its Impact on the Formation of Ozone in Shanghai	WANG Hong-li (3159)
Removal of Waste Gas Containing Mixed Chlorinated Hydrocarbons by the Biotrickling Filter	CHEN Dong-zhi, MIAO Xiao-ping, OUYANG Du-juan, et al. (3168)
A Three Band Chlorophyll-a Concentration Estimation Model Based on GOCT Imagery	GUO Yu-long, LI Yun-mei, LI Yuan, et al. (3175)
Temporal and Spatial Distribution Characteristics of Dissolved Organic Matter and Influencing Factors in Lake Chaohu	YE Lin-lin, WU Xiao-dong, LIU Bo, et al. (3186)
Spectral Characteristic of Dissolved Organic Matter in Xiaohe River, Hebei	YU Min-da, ZHANG Hui, HE Xiao-song, et al. (3194)
Spatial Variation of Ammonia-N, Nitrate-N and Nitrite-N in Groundwater of Dongshan Island	WU Hai-yan, FU Shi-feng, CAI Xiao-qiong, et al. (3203)
Sources, Migration and Conversion of Dissolved Alkanes, Dissolved Fatty Acids in a Karst Underground River Water, in Chongqing Area	LIANG Zuo-bing, SUN Yu-chuan, WANG Zun-bo, et al. (3212)
Influence of Sulfuric Acid to Karst Hydrochemical and $\delta^{13}\text{C}_{\text{DIC}}$ in the Upper and Middle Reaches of the Wujiang River	HUANG Qi-bo, QIN Xiao-qun, LIU Peng-yu, et al. (3220)
Hydrochemical Characteristic and Reasoning Analysis in Siyi Town, Langzhong City	ZHANG Yan, WU Yong, YANG Jun, et al. (3230)
Seasonal Variation on Nutrient Limitation for Phytoplankton Growth in a Coastal River-Reservoir System, Southeast China	CHEN Cong-cong, RAO La, HUANG Jin-liang, et al. (3238)
Physiological Effect of <i>Vallisneria natans</i> Under Different Concentrations of Nitrogen, Phosphorus and Chloramphenicol	HU Zhen-zhen, CUI Yi-bin, LI Mei, et al. (3248)
Effects of Algicidal Substance on <i>Phaeocystis globosa</i> and Its Fatty Acids by the Simulation Experiment	YANG Qiu-chan, ZHAO Ling, YIN Ping-he, et al. (3255)
Agricultural Non-Point Source Pollutants Removal by Enhanced Riverbank Interception Facilities Under Different Operating Conditions	LI Huai-zheng, CHEN Ke-li, WEI Zhong, et al. (3262)
Speciation Distribution and Risk Assessment of Heavy Metals in Typical Material Roof Dusts	LI Dun-zhu, GUAN Yun-tao, LIU An, et al. (3269)
Formation of Disinfection By-Products During Chlor(am)ination of Danjiangkou Reservoir Water and Comparison of Disinfection Processes	ZHANG Min-sheng, XU Bin, ZHANG Tian-ying, et al. (3278)
Effects of Interaction of Ozonation and Coagulation on Coagulation Results	LIU Hai-long, GUO Xue-feng, WANG Min-hui, et al. (3285)
Effects of Anions on Bromate Formation During Ozonation of Bromide-Containing Water	WU Yue, WU Chun-de, LIU Lü-gang, et al. (3292)
XAS Analysis upon Dissolved Species of Orpiment in Anoxic Environment	WANG Ying, XU Li-ying, WANG Shao-feng, et al. (3298)
AOX Pollution in Wastewater Treatment Process of Dyeing and Dyestuff Chemical Industries	SHEN Yang-yang, LIU Rui, XU Can-can, et al. (3304)
Fate of ARB and ARGs During Wastewater Treatment Process of Spiramycin Production	QIN Cai-xia, TONG Juan, SHEN Pei-hong, et al. (3311)
A Comparative Study on Two Membrane Bioreactors for the Treatment of Digested Piggy Wastewater	SHUI Yong, Kawagishi Tomoki, SONG Xiao-yan, et al. (3319)
Analysis of Microbial Community in the Membrane Bio-Reactor (MBR) Rural Sewage Treatment System	KONG Xiao, CUI Bing-jian, JIN De-cai, et al. (3329)
Start-up Characteristics of Four-zone Integrated Reactor for Nitrogen Removal in Winter and Analysis of Nitrobacteria Community	ZHANG Yan, SUN Feng-xia, XIE Hang-ji, et al. (3339)
Achievement of Sulfate-Reducing Anaerobic Ammonium Oxidation Reactor Started with Nitrate-Reducing Anaerobic Ammonium Oxidation	LIU Zheng-chuan, YUAN Lin-jiang, ZHOU Guo-biao, et al. (3345)
Effect of Increasing Organic Loading Rate on the Formation and Stabilization Process of Aerobic Granular Sludge	LIU Xiao-peng, WANG Jian-fang, QIAN Fei-yue, et al. (3352)
Nitrogen Loss Through Different Ways in Cropland Under Conventional Fertilization: An <i>In-situ</i> Study of Summer Maize Season in the Middle and Lower Reaches of the Yangtze River	SANG Meng-meng, FAN Hui, JIANG Shan-shan, et al. (3358)
Effects of Water and Nitrogenous Fertilizer Coupling on CH ₄ and N ₂ O Emission from Double-Season Rice Paddy Field	FU Zhi-qiang, LONG Pan, LIU Yi-qi, et al. (3365)
Characteristics of N ₂ , N ₂ O, NO, CO ₂ and CH ₄ Emissions in Anaerobic Condition from Sandy Loam Paddy Soil	CAO Na, WANG Rui, LIAO Ting-ting, et al. (3373)
Characteristics of Soil Respiration along Eroded Sloping Land with Different SOC Background on the Hilly Loess Plateau	CHEN Gai, XU Ming-xiang, ZHANG Ya-feng, et al. (3383)
Effect of Biochar on Soil Greenhouse Gas Emissions in Semi-arid Region	GUO Yan-liang, WANG Dan-dan, ZHENG Ji-yong, et al. (3393)
Characteristics and Coupling Relationship of Soil Carbon and Nitrogen Transformation During <i>In-situ</i> Mineralization Cultivation in Forestlands in the Mountain Area of Southern Ningxia	NI Yin-xia, HUANG Yi-mei, NIU Dan, et al. (3401)
Nitrogen Fraction Distributions and Impacts on Soil Nitrogen Mineralization in Different Vegetation Restorations of Karst Rocky Desertification	HU Ning, MA Zhi-min, LAN Jia-cheng, et al. (3411)
Distribution and Dynamics of Cropland Soil Organic Carbon in Jianghan Plain: A Case Study of Qianjiang City	WANG Yu-zhu, XIAO He-ai, ZHOU Ping, et al. (3422)
Impact of Land Utilization Pattern on Distributing Characters of Labile Organic Carbon in Soil Aggregates in Jinyun Mountain	LI Rui, JIANG Chang-sheng, HAO Qing-ju (3429)
Magnetic Responses of Heavy Metals in Street Dust of Typical Mine-Based City, Northwest China	NIE Yan, WANG Xin, WANG Bo, et al. (3438)
Distribution Characteristics of Heavy Metals in Environmental Samples Around Electroplating Factories and the Health Risk Assessment	GUO Peng-ran, LEI Yong-qian, ZHOU Qiao-li, et al. (3447)
Homologues Levels and Distribution Pattern of Polychlorinated Biphenyls in Typical Capacitor Contaminated Soil	LIU Jie, LI Xiao-dong, ZHAO Zhong-hua, et al. (3457)
Adsorption and Desorption Characteristics of Endosulfan in Purple Soil	ZHAO Yan, ZHENG Guo-can, ZHU Heng, et al. (3464)
Influence of <i>Mirabilis jalapa</i> Linn. Growth on the Microbial Community and Petroleum Hydrocarbon Degradation in Petroleum Contaminated Saline-alkali Soil	JIAO Hai-hua, CUI Bing-jian, WU Shang-hua, et al. (3471)
Al ³⁺ Absorption and Assimilation by Four Ectomycorrhizal Fungi	WANG Ming-xia, YUAN Ling, HUANG Jian-guo, et al. (3479)
Contamination of Organophosphorus Pesticides Residue in Fresh Vegetables and Related Health Risk Assessment in Changchun, China	YU Rui, LIU Jing-shuang, WANG Qi-cun, et al. (3486)
Community Structure and Succession of Methanogens in Beishenshu Landfill, Beijing	SONG Li-na, WANG Lei, XIA Meng-jing, et al. (3493)
Fertility and Environmental Impacts of Urban Scattered Human Feces Used as Organic Granular Fertilizer for Leaf Vegetables	LÜ Wen-zhou, QIAO Yu-xiang, YU Ning, et al. (3501)
Degradation of PCDD/Fs by the Mixture of V ₂ O ₅ -WO ₃ /TiO ₂ Catalyst and Activated Carbon	REN Yong, JI Sha-sha, YU Ming-feng, et al. (3508)
Energy Conservation and Emissions Reduction Benefits Analysis for Battery Electric Buses Based on Travel Services	LIN Xiao-dan, TIAN Liang, LÜ Bin, et al. (3515)
Definition and Control Indicators of Volatile Organic Compounds in China	JIANG Mei, ZOU Lan, LI Xiao-qian, et al. (3522)
Influence of Dissimilatory Iron Reduction on the Speciation and Bioavailability of Heavy Metals in Soil	SI You-bin, WANG Juan (3533)

《环境科学》第6届编辑委员会

主编：欧阳自远

副主编：赵景柱 郝吉明 田刚

编委：(按姓氏笔画排序)

万国江 王华聪 王凯军 王绪绪 田刚 田静 史培军
朱永官 刘志培 刘毅 汤鸿霄 孟伟 周宗灿 林金明
欧阳自远 赵景柱 姜林 郝郑平 郝吉明 聂永丰 黄霞
黄耀 鲍强 潘纲 潘涛 魏复盛



(HUANJING KEXUE)

(月刊 1976年8月创刊)

2015年9月15日 第36卷 第9期

ENVIRONMENTAL SCIENCE

(Monthly Started in 1976)

Vol. 36 No. 9 Sep. 15, 2015

主 管	中国科学院	Superintended by	Chinese Academy of Sciences
主 办	中国科学院生态环境研究中心	Sponsored by	Research Center for Eco-Environmental Sciences, Chinese Academy of Sciences
协 办	(以参加先后为序)	Co-Sponsored by	Beijing Municipal Research Institute of Environmental Protection
	北京市环境保护科学研究院		School of Environment, Tsinghua University
	清华大学环境学院		
主 编	欧阳自远	Editor-in -Chief	OUYANG Zi-yuan
编 辑	《环境科学》编辑委员会	Edited by	The Editorial Board of Environmental Science (HUANJING KEXUE) P. O. Box 2871 , Beijing 100085 , China Tel:010-62941102,010-62849343 ; Fax:010-62849343 E-mail : hjkx@rcees.ac.cn http://www.hjkx.ac.cn
出 版	科 学 出 版 社	Published by	Science Press 16 Donghuangchenggen North Street , Beijing 100717 , China
	北京东黄城根北街16号		
	邮政编码:100717		
印 刷 装 订	北京北林印刷厂	Printed by	Beijing Bei Lin Printing House
发 行	科 学 出 版 社	Distributed by	Science Press Tel:010-64017032 E-mail : journal@mail.sciencep.com
	电话:010-64017032		
	E-mail : journal@mail.sciencep.com		
订 购 处	全国各地邮局	Domestic	All Local Post Offices in China
国外总发行	中国国际图书贸易总公司 (北京399信箱)	Foreign	China International Book Trading Corporation (Guoji Shudian) , P. O. Box 399 , Beijing 100044 , China

中国标准刊号: ISSN 0250-3301
CN 11-1895/X

国内邮发代号: 2-821

国 内 定 价: 120.00 元

国外发行代号: M 205

国 内 外 公 开 发 行